

С 345
Д - 33

4.3.1964



ОБЪЕДИНЕННЫЙ ИНСТИТУТ ЯДЕРНЫХ ИССЛЕДОВАНИЙ
ЛАБОРАТОРИЯ ЯДЕРНЫХ ПРОБЛЕМ

Ю.Н. Денисов, В.В. Калиниченко

P-1554

РЕЗОНАТОР ДЛЯ НАБЛЮДЕНИЯ ЭПР
В ДЕЦИМЕТРОВОМ ДИАПАЗОНЕ

ГГЭ, 1965, №2, с 134-135.

Дубна 1964

Ю.Н.Денисов, В.В.Калиниченко

Р-1554

РЕЗОНАТОР ДЛЯ НАБЛЮДЕНИЯ ЭПР
В ДЕЦИМЕТРОВОМ ДИАПАЗОНЕ

22.89/3
45.

Направлено в ПТЭ



Дубна 1984

P- 1554

Денисов Ю.Н., Калиниченко В.В.

Резонатор для наблюдения ЭПР в дециметровом диапазоне

Для наблюдения ЭПР в дециметровом диапазоне длин волн предлагается использовать четвертьволновый коаксиальный резонатор со спиральным внутренним проводником. Показывается, что интенсивность сигнала ЭПР для такого типа резонатора в десятки раз больше, чем при использовании обычного коаксиального резонатора.

Препринт Объединенного института ядерных исследований.

Дубна. 1964 .

P-1554

Denisov Ju.N., Kalinichenko V.V.

A Resonator for Observing Electronic Paramagnetic Resonance
in a Decimetric Range

It is suggested to use a quarter-wave coaxial resonator with a spiral internal conductor to observe electric paramagnetic resonance in a decimetric wave length range. It is shown that the intensity of the electronic paramagnetic resonance signal for a resonator of such a type is ten times more than for the usual coaxial resonator.

Preprint Joint Institute for Nuclear Research.

Dubna. 1964.

Поглощение электромагнитной энергии исследуемым веществом, помещенным в резонатор спектроскопа, регистрируется по изменению уровня высокочастотной мощности, поступающей к детектору при ЭПР.

Это изменение равно^{1/}:

$$\frac{\Delta P}{P_0} = k \eta Q_0,$$

где ΔP – мощность, поглощаемая веществом при резонансе;

P_0 – мощность, поступающая в резонатор от СВЧ генератора;

k – коэффициент, определяющийся характеристиками вещества, из которого изготовлен образец и условиями наблюдения ЭПР;

η – коэффициент заполнения, зависящий от объема образца и распределения электромагнитного поля в резонаторе;

Q_0 – добротность резонатора.

Следовательно, величина детектируемого сигнала ЭПР, пропорциональная $\Delta P/P_0$, при заданном веществе образца обуславливается добротностью резонатора Q_0 и коэффициентом заполнения η . Увеличение $\Delta P/P_0$ за счет повышения добротности резонатора больше некоторого среднего значения, равного обычно 500–5000, не рационально, так как с увеличением Q_0 резко растут габариты резонатора и технологические трудности его изготовления. Кроме того, в этом случае для устойчивой работы прибора необходима система автоматической подстройки частоты СВЧ генератора к частоте резонатора с образцом, что сильно усложняет схему установки. Значительно целесообразнее увеличивать $\Delta P/P_0$ за счет повышения коэффициента заполнения η , равного^{1/}

$$\eta = \frac{\int_{V_0} H_1^2 dV_0}{\int_{V_1} H_1^2 dV_p},$$

где H_1 – напряженность высокочастотного магнитного поля,

V_0 – объем образца,

V_1 – объем резонатора.

При наблюдении ЭПР в малых образцах (а этот случай представляет наибольший интерес) можно пренебречь изменением поля H_1 в объеме исследуемого вещества. Тогда

$$\eta = \frac{V_0}{V_p \text{ эфф.}},$$

где $V_p \text{ эфф.} = \frac{1}{H_1^2} \int_{V_p} H_1^2 dV_p$.

Очевидно, что для всех типов резонаторов ν_p эффи. $< \nu_p$. В диапазоне 500 – 10 000 МГц применяются резонаторы с объемом от единиц до нескольких десятков см³. Следовательно, для образцов объемом ~ 0,001 см³ коэффициент заполнения η очень мал (меньше 0,001). Для наблюдения ЭПР в дециметровом диапазоне длин волн предлагается использовать четвертьвольновый коаксиальный резонатор со спиральным внутренним проводником, показанный на рис. 1. Характерной особенностью этого резонатора является высокая концентрация высокочастотного магнитного поля в объеме, охваченном внутренним спиральным проводником, позволяющая и при малых объемах образцов получать большие η .

Резонансная частота резонатора равна

$$f_0 = \frac{c}{4\pi n l D} \left(\frac{D_\vartheta}{D} \right)^{\frac{1}{2}},$$

где c – скорость света в см/сек,

n – число витков на см длины внутреннего спирального проводника.

В этом выражении не учитывается электрическое укорочение линии (обычно на 5–10%) за счет емкости между разомкнутым концом внутреннего проводника и торцом экрана или специального подвижного плунжера, показанного на рис. 1.

При помощи плунжера производится плавная настройка резонатора на заданную частоту.

Добротность резонатора, изготовленного из меди, вычисляется по формуле^{/3/}

$$Q_0 = \frac{0,024 \pi D [1 - (\frac{D}{D_\vartheta})^2] f_0^3}{[\frac{1}{\pi n d} + (\frac{D}{D_\vartheta})^3]},$$

где d – диаметр провода внутреннего спирального проводника в см.

Высокочастотное магнитное поле H_1 параллельно продольной оси резонатора, следовательно, в зазоре магнита его необходимо располагать таким образом, чтобы силовые линии постоянного поля H_0 были направлены перпендикулярно этой оси. Возбуждение резонатора и связь с диодной детекторной головкой осуществляется при помощи зондов и петель, вводимых внутрь полости резонатора, или щелей вдоль образующей цилиндрического корпуса резонатора. Конструкция одного из резонаторов рассматриваемого типа показана на рис. 2. Этот резонатор имел следующие параметры: $Q_0 = 400$; длина внутреннего спирального проводника $l = 0,5$ см; $D = 0,28$ см; $D_\vartheta = 0,8$ см; $d = 0,08$ см. Для образца объемом 0,0084 см³ коэффициент заполнения

$\eta = 0,4$. Соответственно $\eta Q_0 = 180$. Для образца из дифенилпикрилгидразила при резонансе ток в цепи диодного детектора изменяется более чем в два раза.

Для обычного четвертьволнового коаксиального резонатора на такую же частоту с диаметром внутреннего проводника $D_H = 0,8$ см и наружного $D_{BH} = 2$ см эффективный объем высокочастотного магнитного поля равен $/2/$

$$V_{\text{эфф.}} = \frac{c \pi}{16 f_0} D_{BH}^2 \ln \frac{D_H}{D_{BH}} = 1,3 \text{ см}^3 .$$

Если объем образца такой же, как и в предыдущем примере, то коэффициент заполнения $\eta = 0,005$. Добротность этого резонатора $Q_0 = 2000$ и, следовательно, $\eta Q = 10$.

Сравнение полученных результатов показывает, что интенсивность сигнала ЭПР для четвертьволнового резонатора со спиральным внутренним проводником в десятки раз больше, чем для объемного коаксиального резонатора. Этот вывод подтверждается экспериментально.

Л и т е р а т у р а

1. Д. Инграм. Электронный парамагнитный резонанс в свободных радикалах. ИЛ. Москва, 1981.
2. В.В. Никольский. Теория электромагнитного поля. В.Ш. Москва, 1981.
3. W.Sichak. Proc. IRE 42, 1315 (1954).

Рукопись поступила в издательский отдел
5 февраля 1984 г.

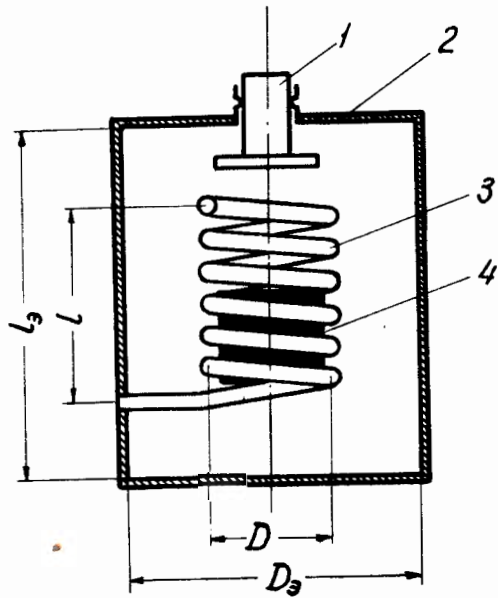


Рис. 1. Схематическое изображение резонатора.

1 - элемент настройки; 2 - корпус резонатора;
3 - внутренний спиральный проводник; 4 - образец.

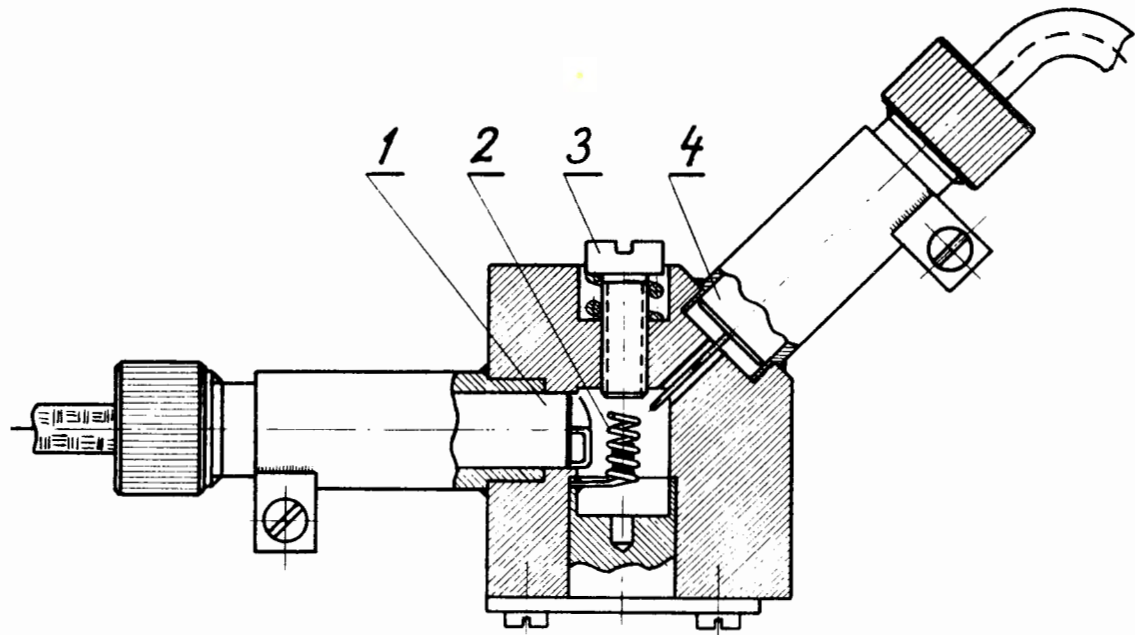


Рис. 2. Конструкция резонатора.

- 1 - диодная детекторная головка (петля связи условно повернута на 90°);
- 2 - внутренний спиральный проводник;
- 3 - винт настройки;
- 4 - штырь связи с генератором СВЧ.